届協和重症与血流动力学大会



A IOU

主办单位:中国医学科学院 北京协和医学院 北京协和医院ICU

承办单位:北京伊诺永明公关策划有限公司

ARDS中的二氧化碳监测

中国医学科学院 中国协和医科大学 北京协和医院ICU 刘晔

ARDS, 氧的异常

- 1967 Ashbaugh:
- Severe dyspnea, tachypnea, cyanosis refractory to oxygen therapy
- Decreased pulmonary compliance
- Diffuse alveolar infiltrates on chest radiograph
- Atelectasis, vascular congestion, hemorrhage, pulmonary edema, and hyaline membranes at autopsy

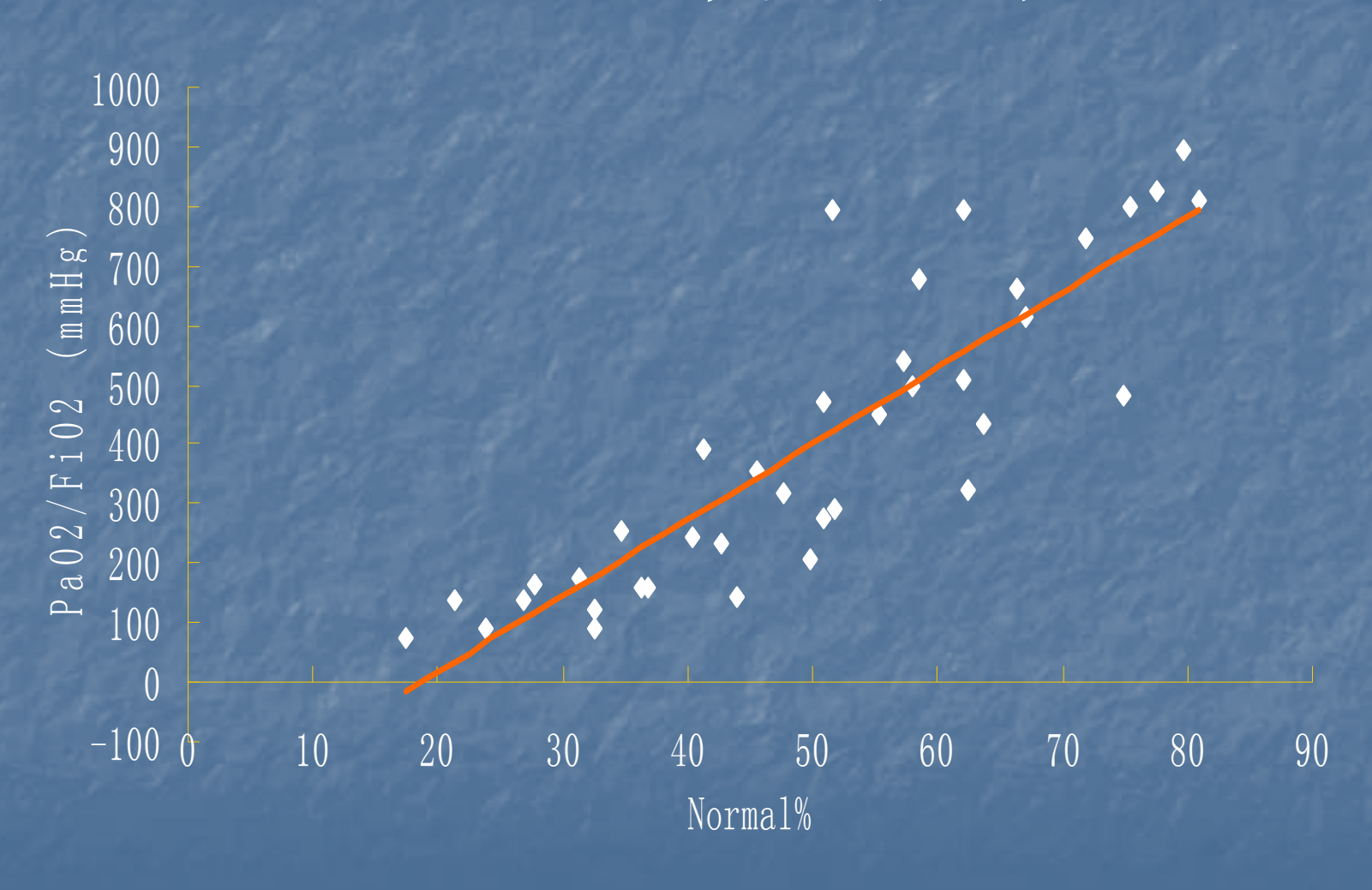
ARDS, 氧的异常

- 1988 Murray: Lung injury scoring system
- Oxygenation
- Positive end-expiratory pressure
- Respiratory system compliance
- Chest radiograph involvement

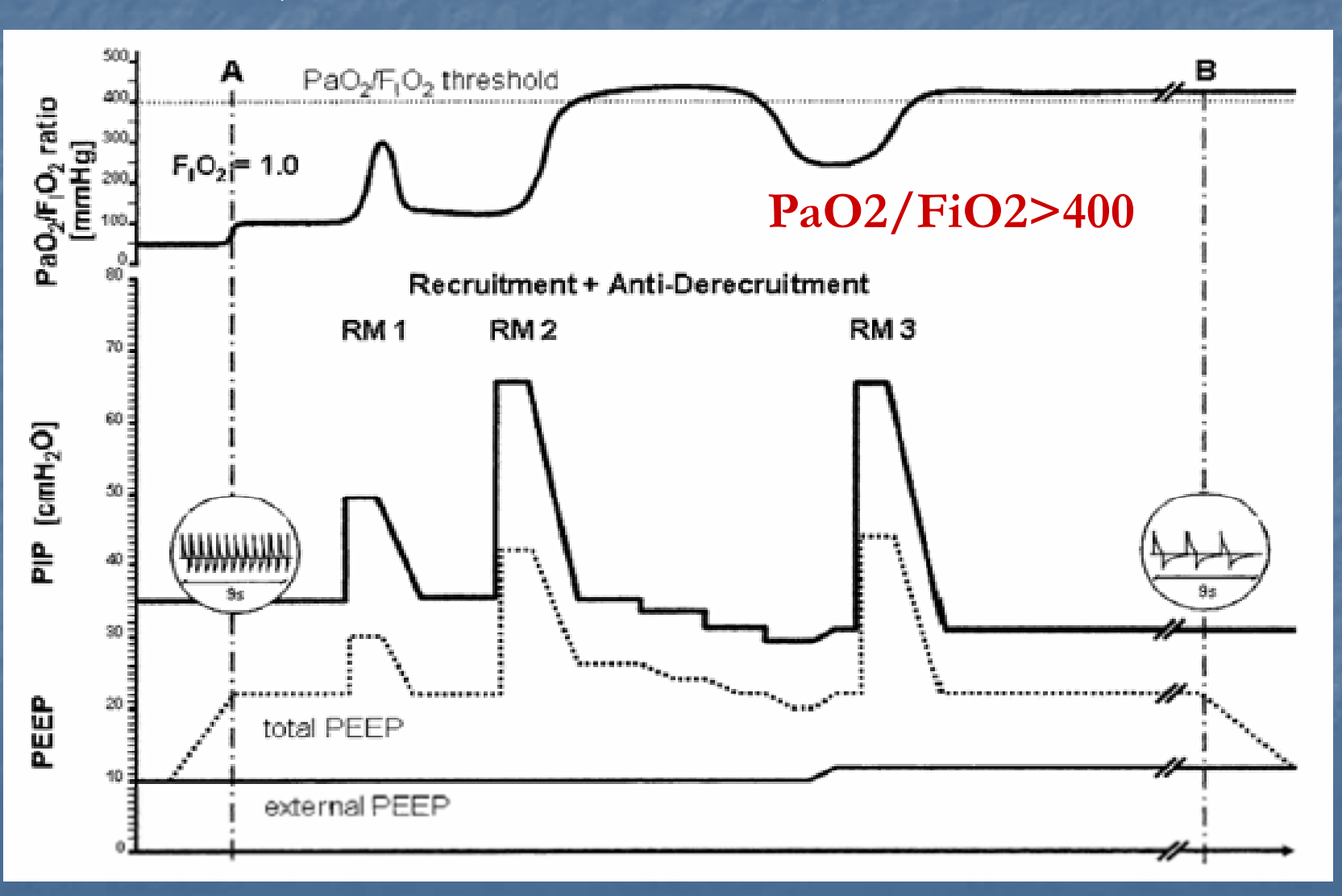
ARDS,氧的异常

- 1994 AECC:
- Acute onset, bilateral infiltates on chest radiography
- Pulmonary-artery wedge pressure of < 19mmHg or the absence of clinical evidence of left atrial hypertension
- PaO2/FIO2 is ≤ 300 and the ARDS subset was defined with a more severe oxygenation deficit, PaO2/FIO2 ≤ 200

ARDS, 氧的异常



氧合指导的治疗策略



ARDS vs 顽固性低氧

- ARDS仅有13%死于顽固性低氧
- 更多死于肺外MODS
- 后者与肺内SIRS remove 有关
- 有证据表明,不恰当的通气模式会对肺外器官造成损伤

Cytokine De-compartmentalization

保护性通气策略

- 限制气道压力与小潮气量通气
- ■肺开放策略
- ■最佳PEEP

最佳PEEP

- 最佳氧合
- ■最佳顺应性
- 最佳通气血流比
- 最大氧输送
- 最小的机械通气相关性肺损伤

最佳PEEP

- ■不单纯是维持氧合
- 能否减少机械通气相关性肺损伤是目前保护性通气策略对最佳PEEP的要求
- * 维持肺泡的开放,避免肺泡的过度膨胀

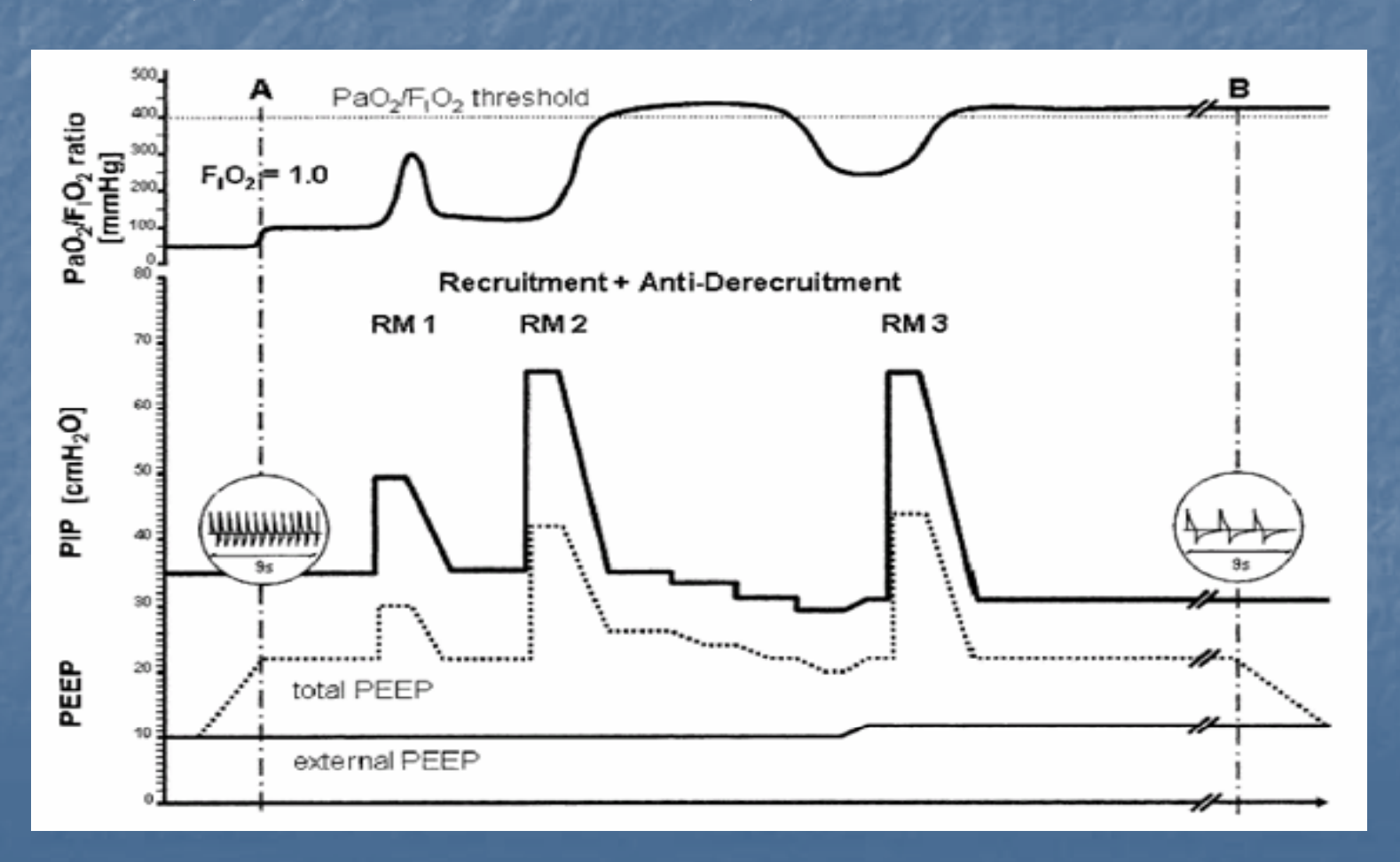
对于全身循环的影响小

PEEP策略

- High or Low PEEP, It is a Question.
 - § Amato、Barbas等人的研究
 - § ARDSNet的研究
- 里想的通气策略应该是个体化的、实时监测的通气方案
- 在一定指标指导下的最佳PEEP策略

PEEP策略

■肺复张后PEEP的选择



PEEP策略

- 是否能维持肺泡的开放
- 是否可以避免肺泡的过度膨胀

- ■减少肺损伤
- 避免血流动力学的影响
- 如何评价

评价PEEP

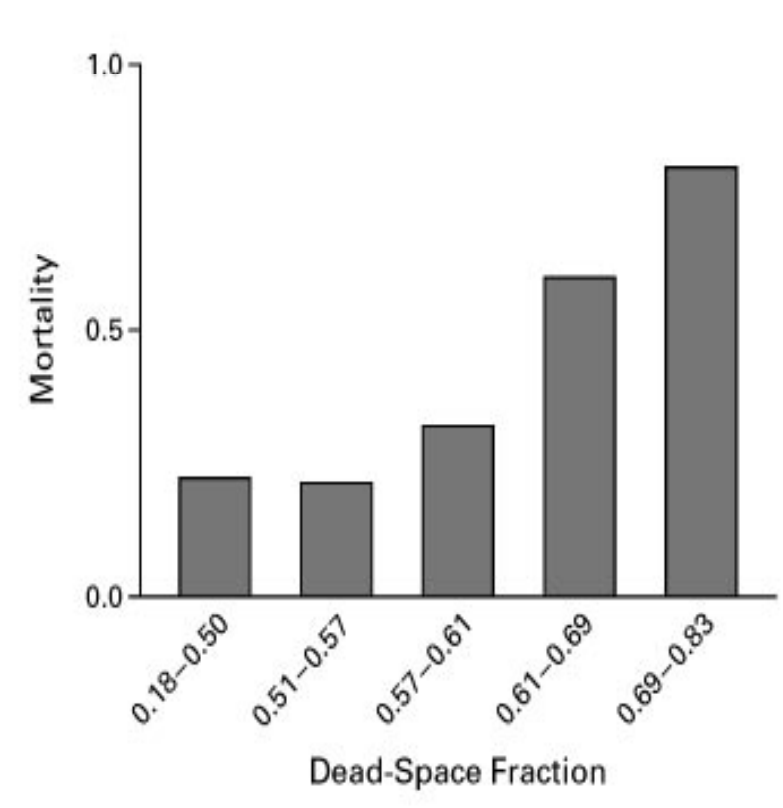
- ■呼吸力学指标: P-V曲线、顺应性、Stress index.....
- ■影像学指标: CT......
- 生化指标: PaO2/FiO2......

最佳氧合法评价PEEP的局限

- 不能很好的反映肺组织局部V/Q 的变化
- 不能评价是否存在过度膨胀
- 不能反映呼吸力学特性
- 不能反映血流动力学的影响
- 如何在床旁评价PEEP

CO2也许是个指标

- Gattinoni等人的研究提示俯卧位通气前后 PaCO2的变化反映肺复张的潜能(*Crit. Care Med.*, 2003; 31: 2727-2733)
- Nuckton等人的研究提示死腔量与ARDS病人的预后相关,是死亡率的独立危险因素(*N. Engl. J. Med.*, 2002; 346: 1281-1286.)



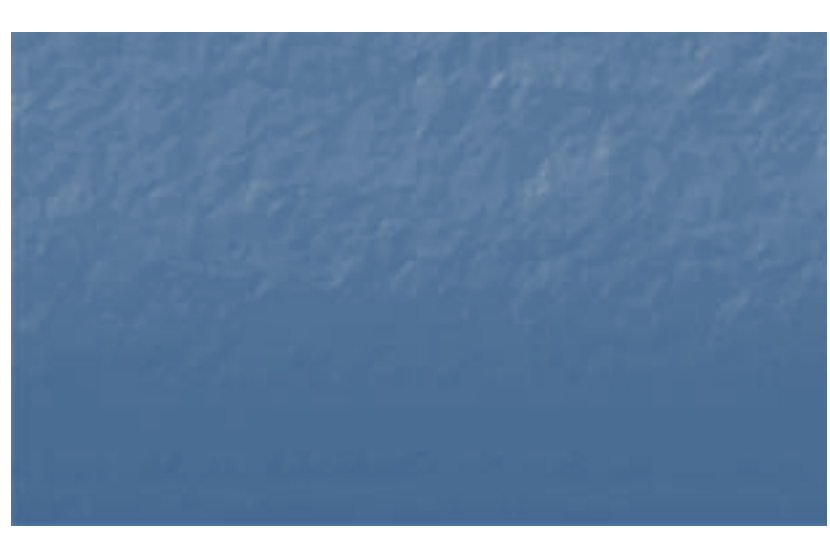




Table 3. Odds Ratios for Variables Independently Associated with an Increased Risk of Death.*

VARIABLE	Odds Ratio (95% CI)	P VALUE
Dead-space fraction (per increase of 0.05)†	1.45 (1.15-1.83)	0.002
SAPS II (per 1-point increase)	1.06 (1.03-1.08)	< 0.001
Quasistatic respiratory compliance (per decrease of 1 ml/cm of water)	1.06 (1.01-1.10)	0.01

^{*}Results were calculated with the use of stepwise, forward, multiplelogistic regression. The odds of death increased as the dead-space fraction and the Simplified Acute Physiology Score II (SAPS II) increased and as quasistatic respiratory compliance decreased. CI denotes confidence interval.

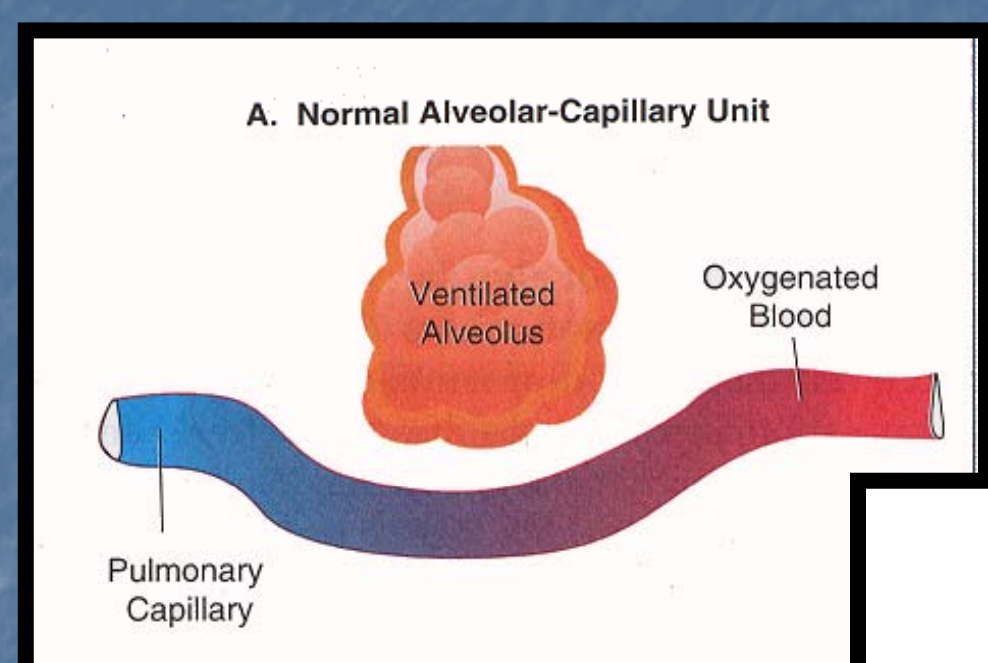
†Measurements of the dead-space fraction include the compressible volume of the ventilator circuit.

CO2相关指标

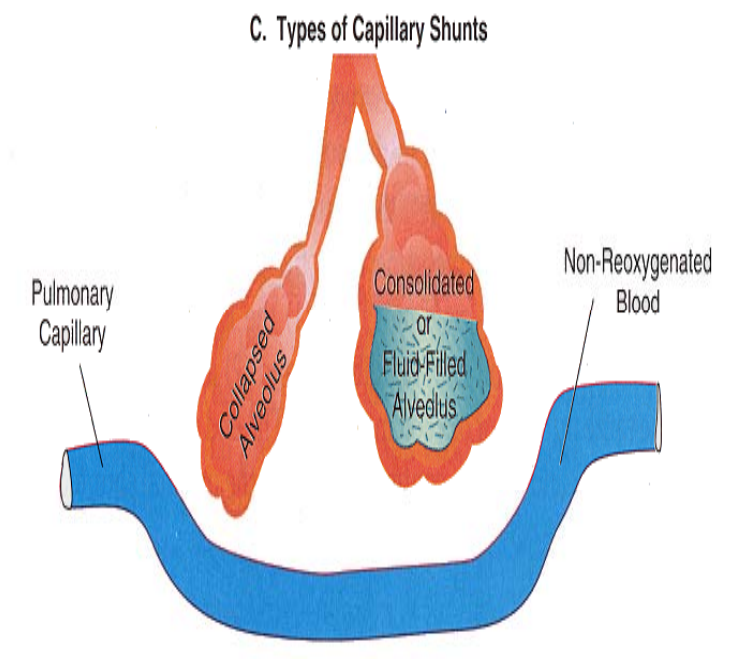
- PaCO2
- PeCO2
- PetCO2
- Pa-etCO2
- Vd

死腔的监测

- 解剖死腔
- ■肺泡死腔
- 生理死腔



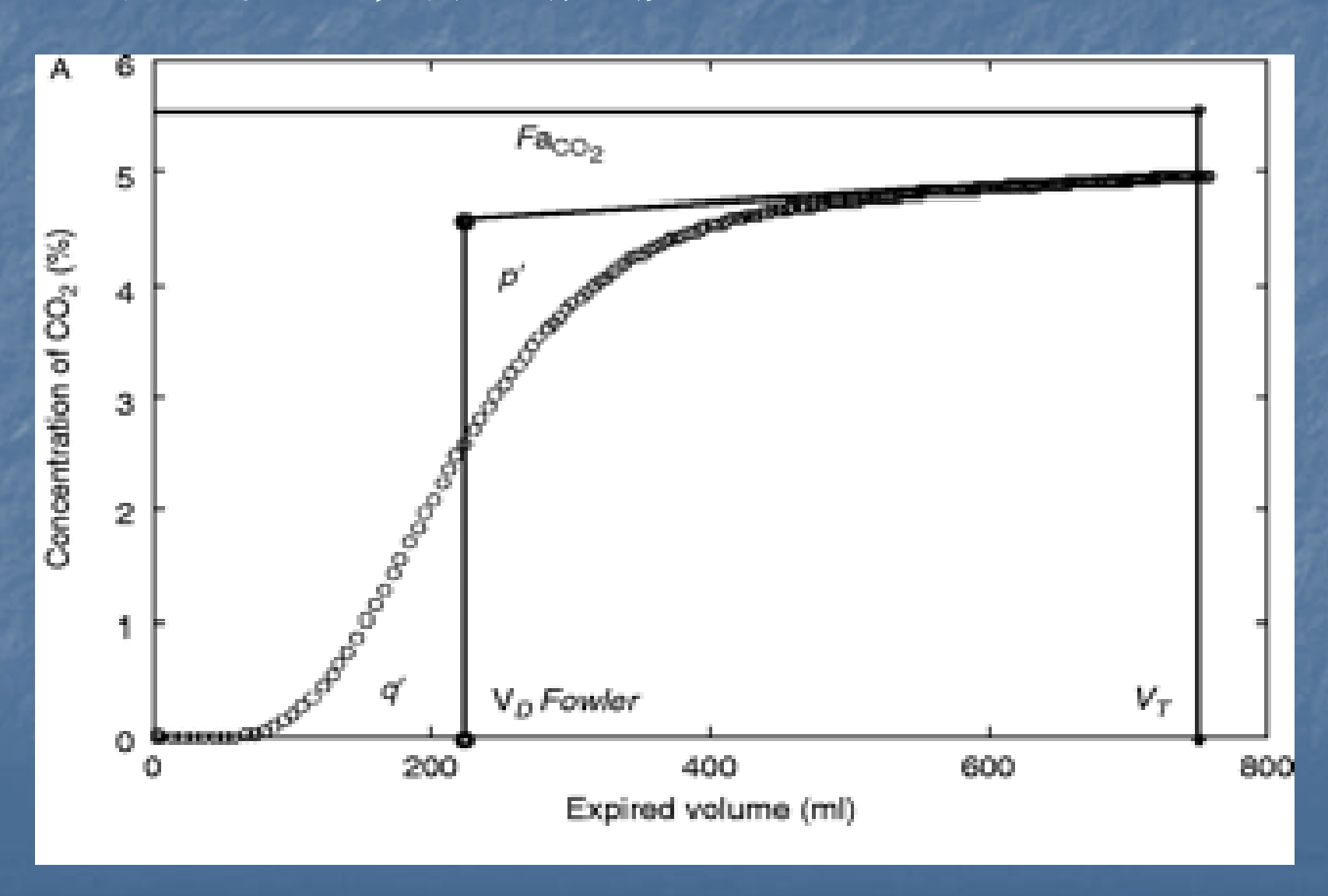
"Shunt dead space"



死腔的监测

- ■肺泡死腔: 通气>血流
- Shunt dead space: 血流>通气
- 在二氧化碳相关的指标中,这两项不能被 区分

呼气二氧化碳波形(SBT-CO2)



死腔的计算

- Bohr-Enghoff公式 (Vd/Vt)_{physio}=Pa-eCO2/PaCO2 Vd_{alv}/Vt=Pa-etCO2/PaCO2
- Vd_{AW}: Fowler's Method

(Vd/Vt)_{alv}=(Vd_{physio}-Vd_{AW})/(Vt-Vd_{AW})

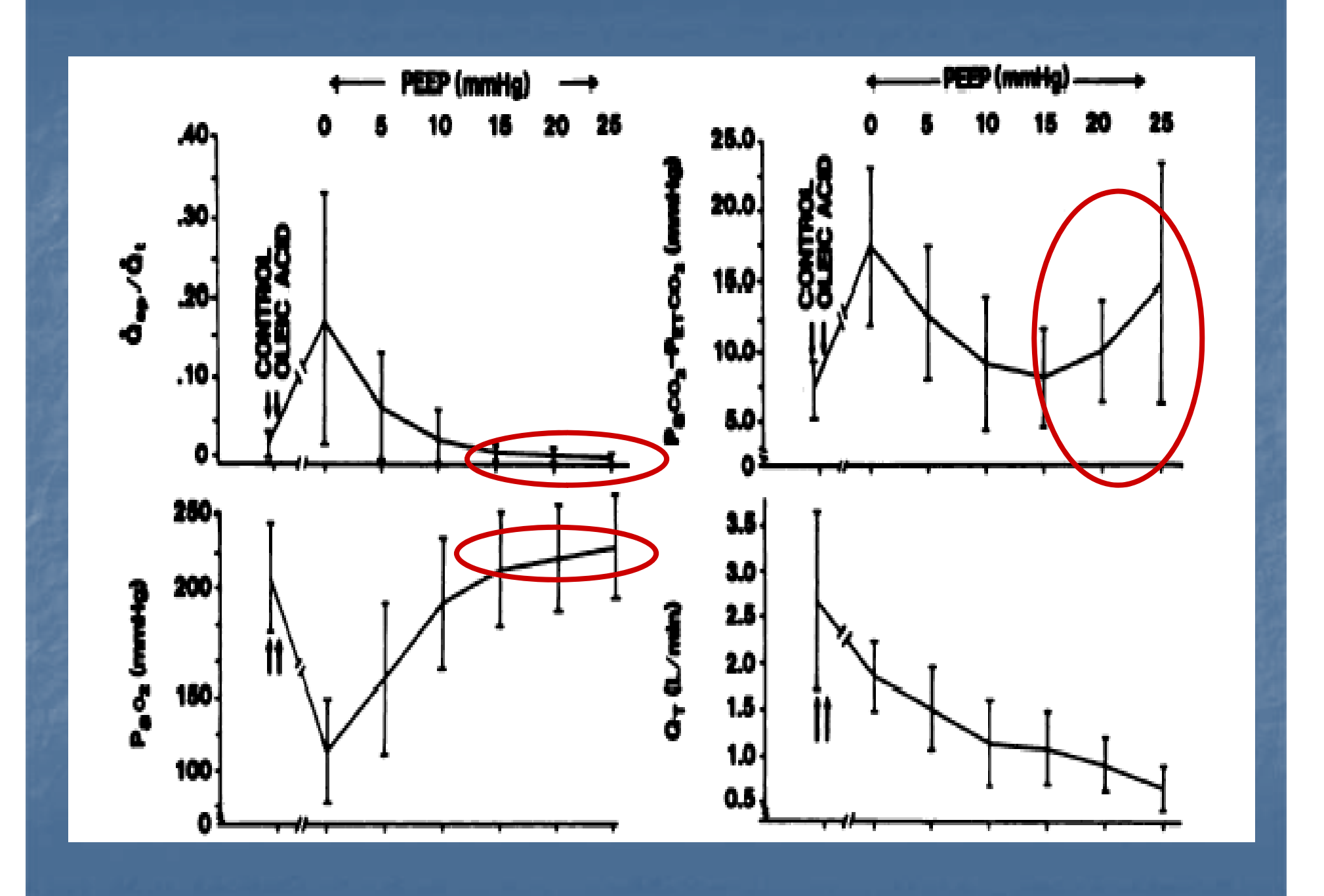
死腔的计算

■ 近似公式(Anesth Analg 2003;97:1846 — 51)

 $(Vd/Vt)_{alv}=1.14\times(Pa-etCO2/PaCO2)-0.05$

PEEP设置与二氧化碳

- Murray等人的研究
- ▶ Pa-etCO2随PEEP增加曲线呈U型
- ➤ 在较低水平的PEEP下,随PEEP增加,Pa-etCO2下降、Qs/Qt下降,PaO2增加
- > 在较高水平的PEEP下, PaO2继续升高、Qs/Qt维持为低值,但Pa-etCO2增加
- ▶ Pa-etCO2的最低点是最佳PEEP



- 二氧化碳相关指标能否反映肺泡通气状态,即开放、闭合与过度膨胀?
- 二氧化碳相关指标能否反映肺的呼吸力学 特性?
- 二氧化碳相关指标能否兼顾血流动力学变化?

CO2与肺复张潜能

- Gattinoni等人的研究
- ■俯卧位通气前后PaCO2的变化反映肺复张潜能
- 死腔量与肺复张潜能相关

死腔量与可复张肺比例

	Patients with Acute Lung Injury or ARDS†			P Value‡
	Overall Population (N=68)	Lower Percentage of Potentially Recruitable Lung (N=34)	Higher Percentage of Potentially Recruitable Lung (N=34)	
Nonaerated lung tissue — % of total lung weight∬	37±16 ††	30±12**	44±17;;	<0.001
Aerated lung tissue — % of total lung weight 🕦	63±16 ††	70±12**	56±17‡‡	<0.001
$PaO_2:FiO_2\P\P$	165±69	194±65**	135±60‡‡	0.01
PaCO ₂ — mm Hg ¶¶	42±9	39±7	44±10	0.50
Respiratory-system compliance — ml/cm of water***	44±19	51±19	38±15	0.002
Dead space — % of tidal volume†††	57±13	51±12	63±13	0.002
Shunt — % of cardiac output;;;	39±15	34±12	45±17	0.008

CO2与肺复张

TABLE I Dead space data

Variable	ZEEP	PEEP	ARS
VD/VT	0.50 ± 0.07	0.51 ± 0.06	0.45 ± 0.01*†
VDAW (mL)	160 ± 48	161 ± 38	137 ± 32
VDALV (mL)	110 ± 35	113 ± 30	108 ± 32
VDPHYS (mL)	270 ± 54	274 ± 56	246 ± 50
VDALV/VTALV	0.29 ± 0.05	0.28 ± 0.06	0.26 ± 0.04
VDAW/VT	0.30 ± 0.08	0.29 ± 0.04	$0.25 \pm 0.04 \dagger \ddagger$
VTCO _{ake} (mL)	23 ± 2.6	25 ± 3.3*	27 ± 3.2 †‡
VTALV (mL)	340 ± 72	355 ± 71	373 ± 68†‡
Vol I/VT	0.22 ± 0.09	0.21 ± 0.06	0.18 ± 0.06
Vol II/VT	0.35 ± 0.05	$0.28 \pm 0.05*$	$0.26 \pm 0.05 \dagger$
Vol III/VT	0.45 ± 0.08	$0.51 \pm 0.1*$	$0.57 \pm 0.09 † ‡$
Slope II (%/L)	46 ± 7.7	56 ± 10*	63 ± 11†‡
Slope III/N (L-1)	0.21 ± 0.11	$0.18 \pm 0.10*$	$0.13 \pm 0.07 \dagger \ddagger$
Angle II/III (°)	127 ± 2.1	125 ± 7.7	113 ± 4†‡

肺复张不仅反映在死腔量上,还反映在SBT-CO2波形的变化上

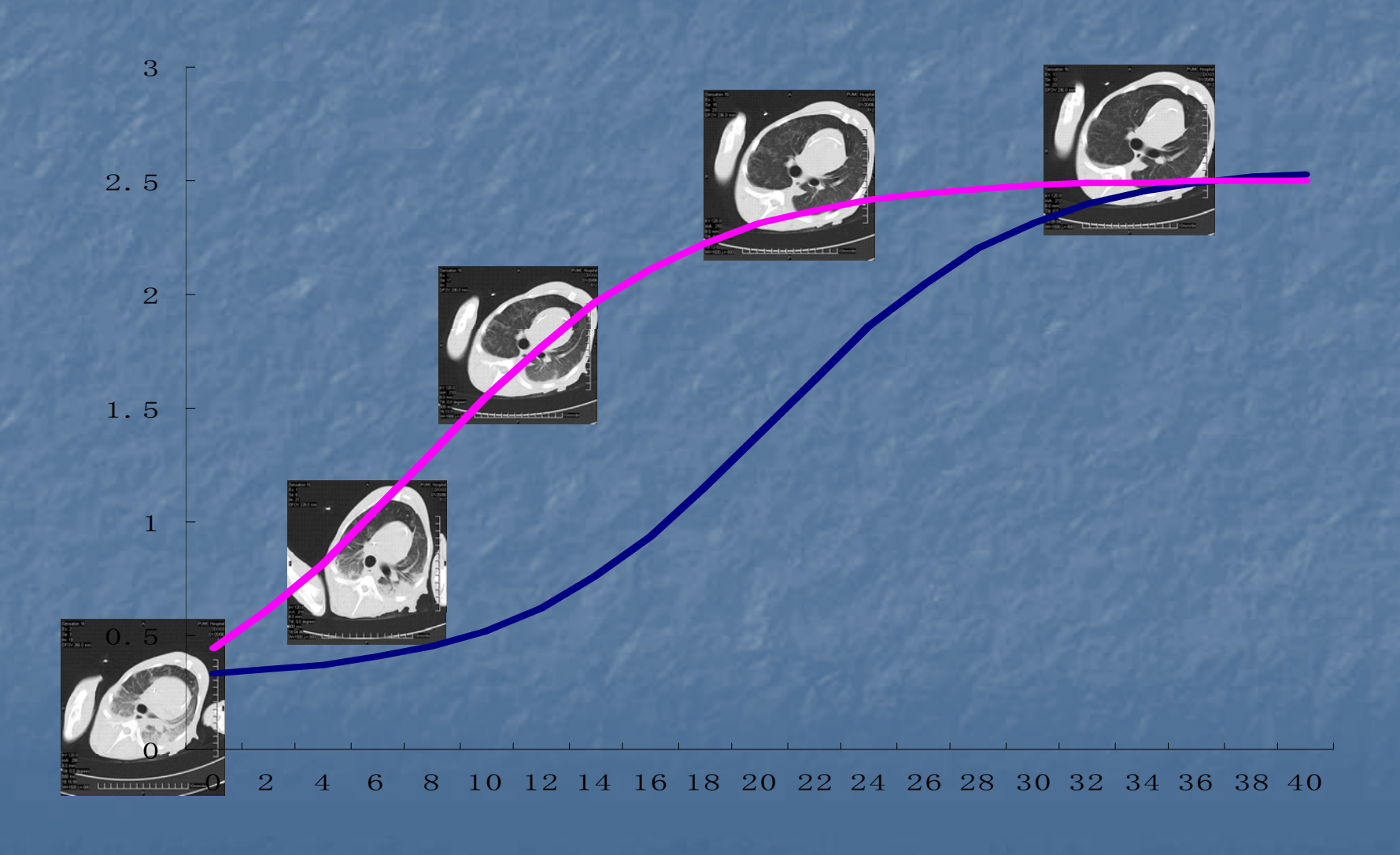
CAN J ANESTH 2004 / 51: 7 / pp 723-727

CO2与肺泡闭合

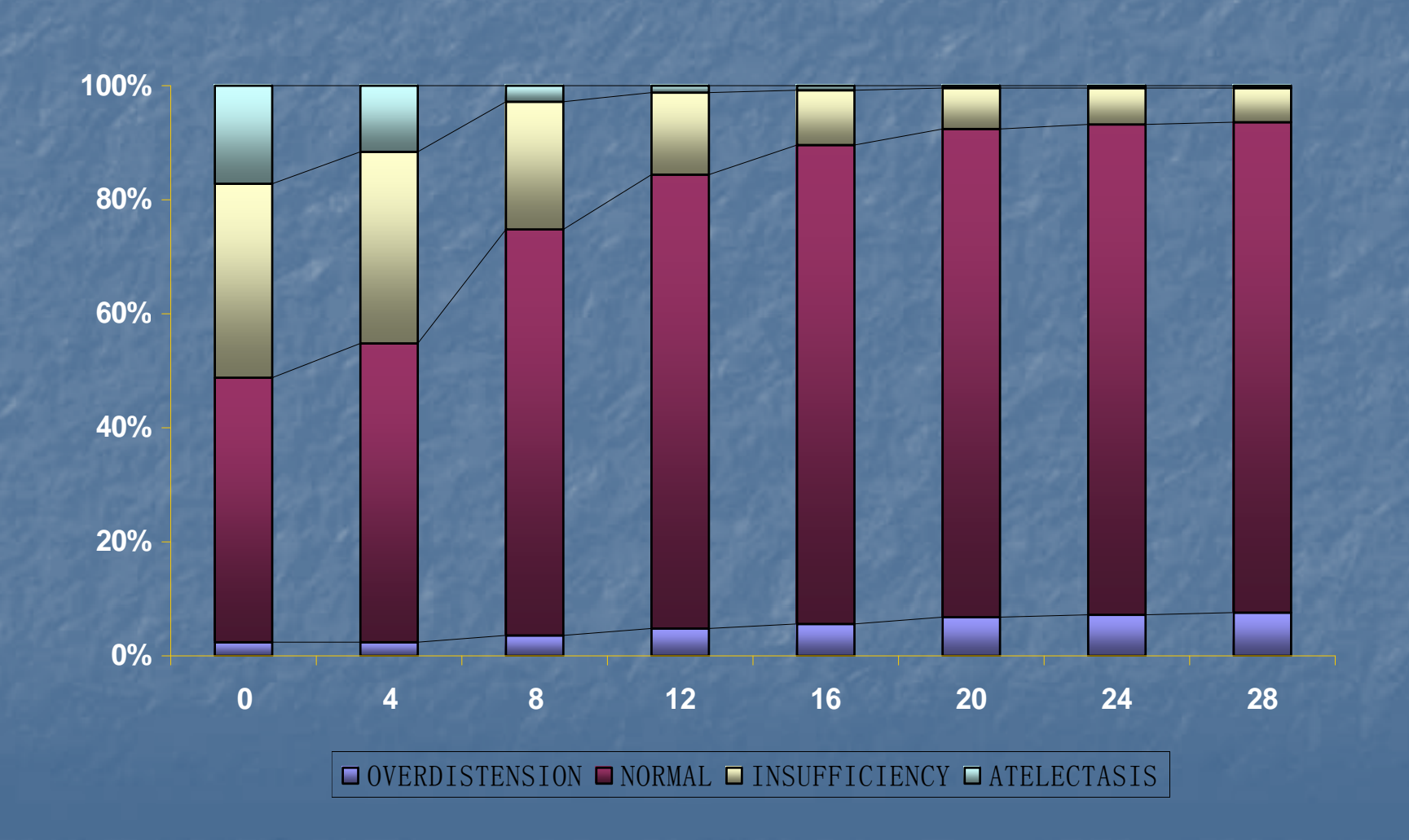
用CO2相关的指标反映肺泡的闭合

用CO2相关的指标描述肺泡闭合的特征

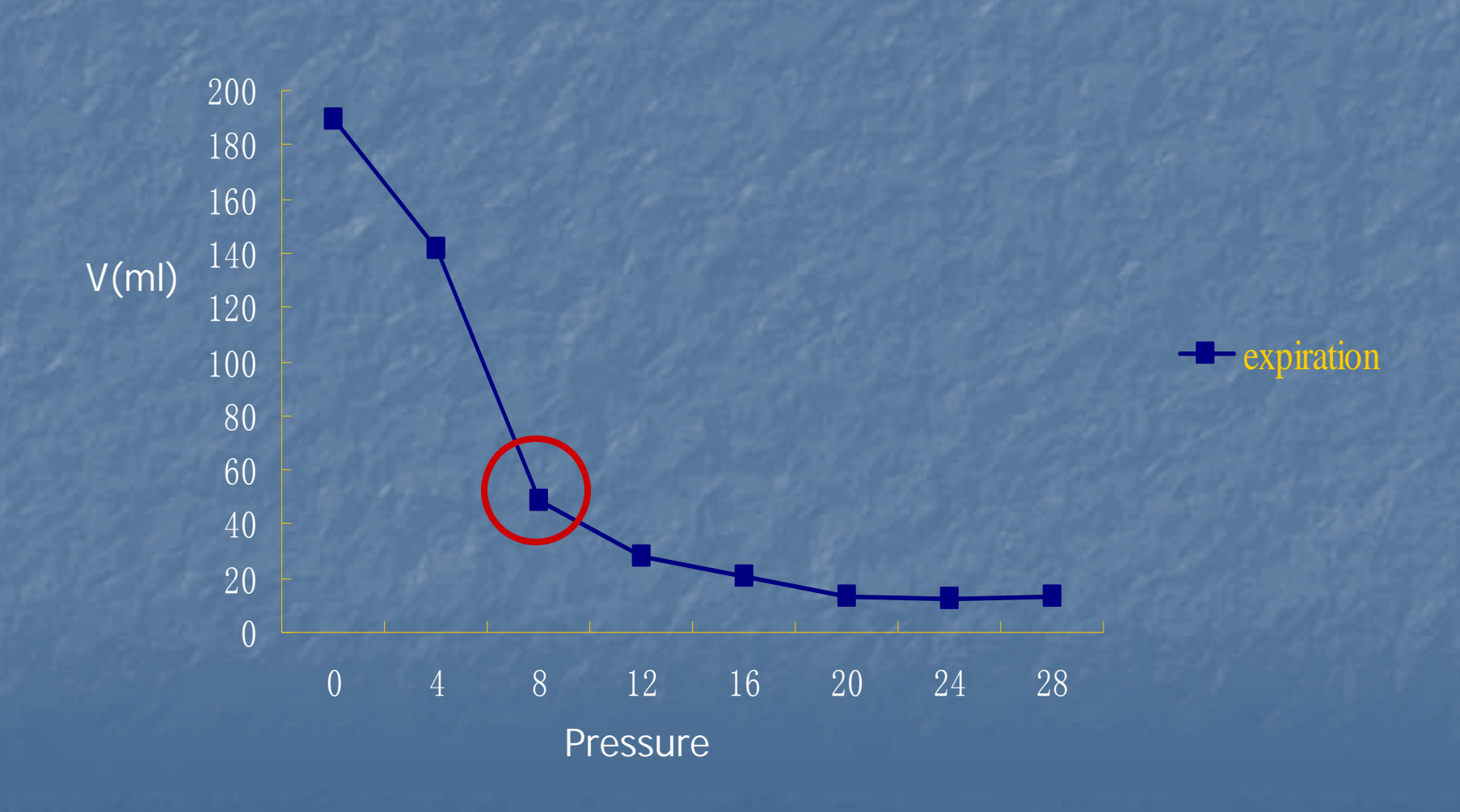
CO2与肺泡闭合的特征



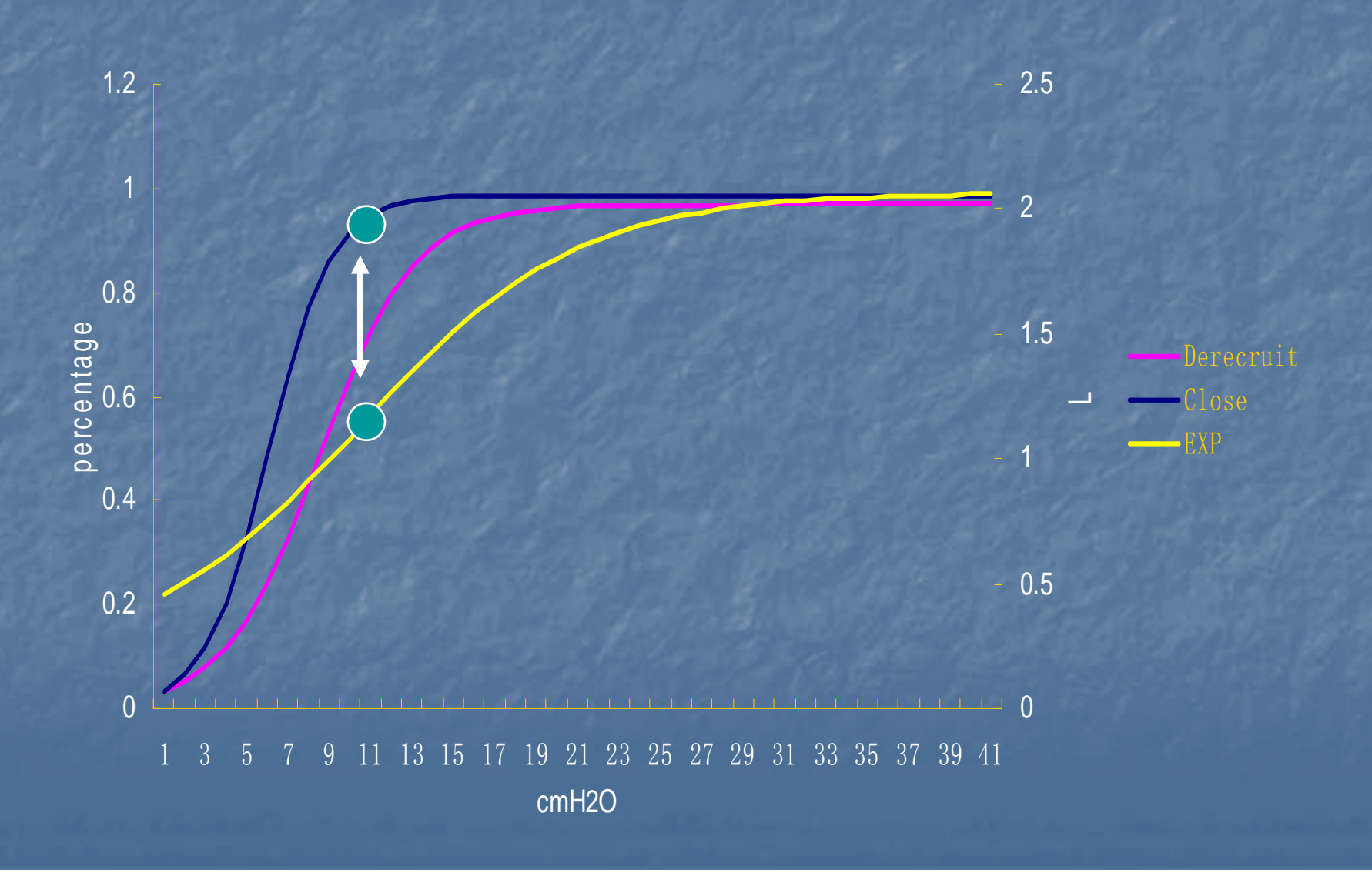
呼气相时各种通气状态肺泡比例



呼气相塌陷肺泡的体积随压力的变化



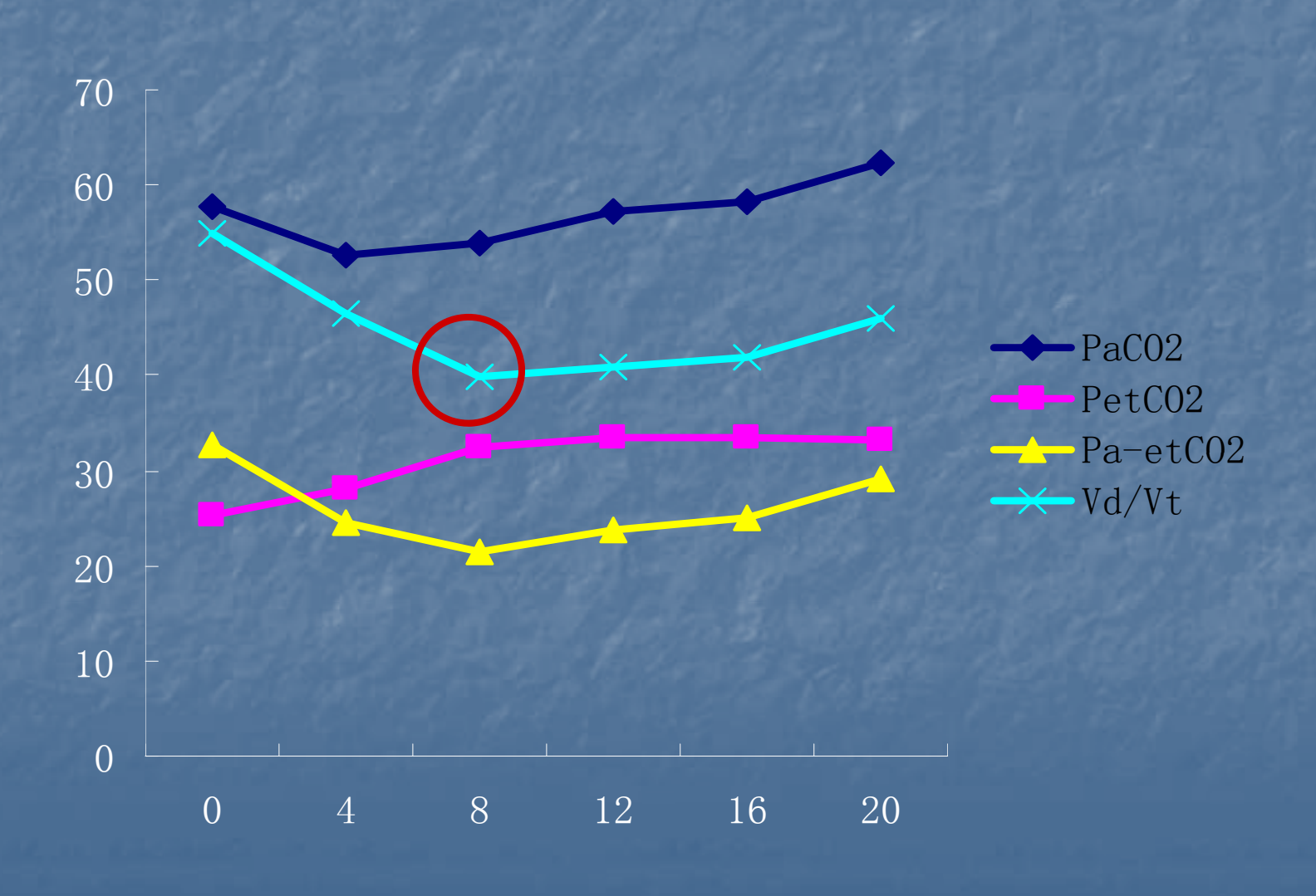
闭合压力分析



闭合压力分析

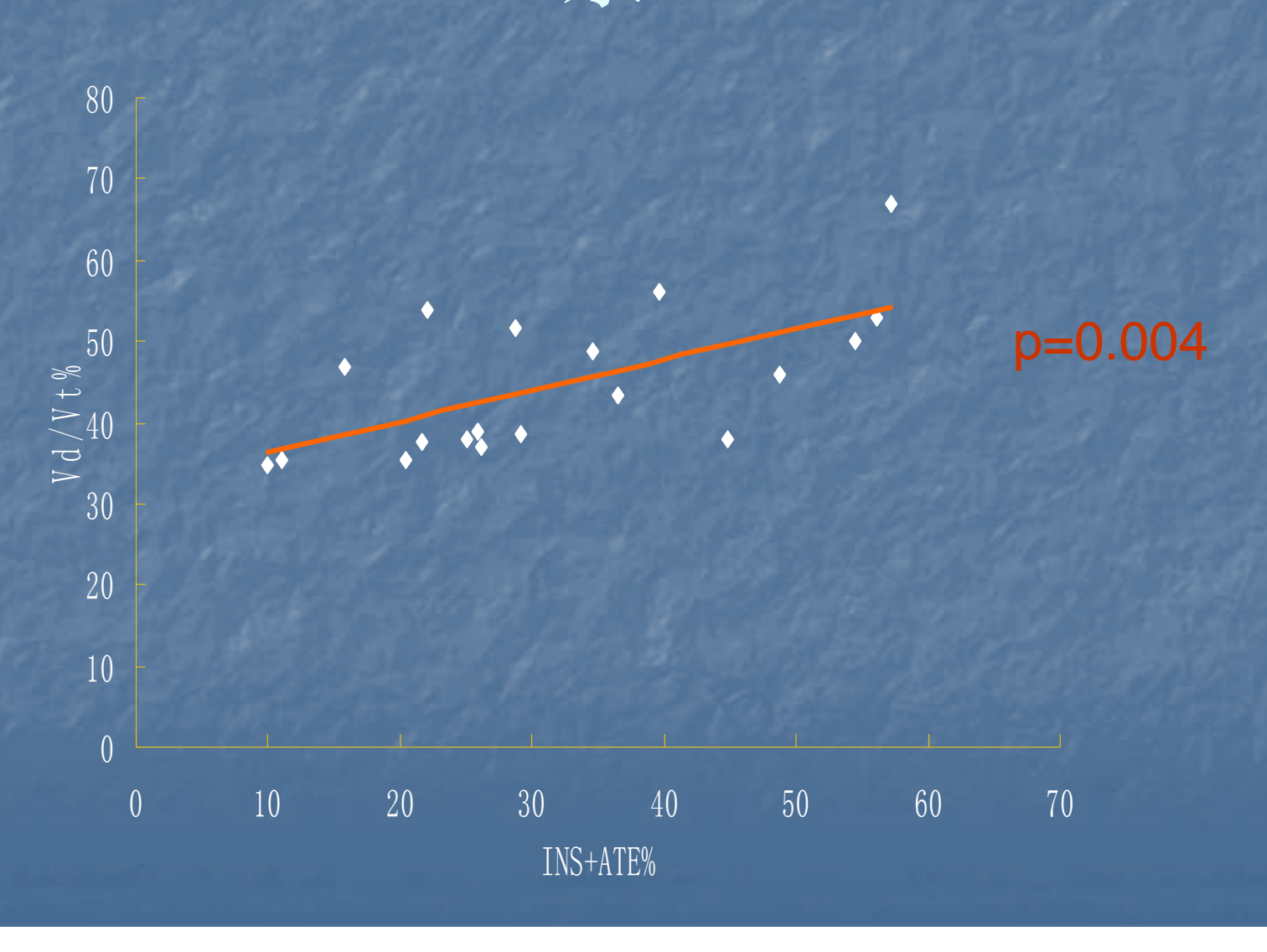
团合压力与呼气曲线最大顺应性点一致

RM后Vd_{alv}/Vt随PEEP的变化

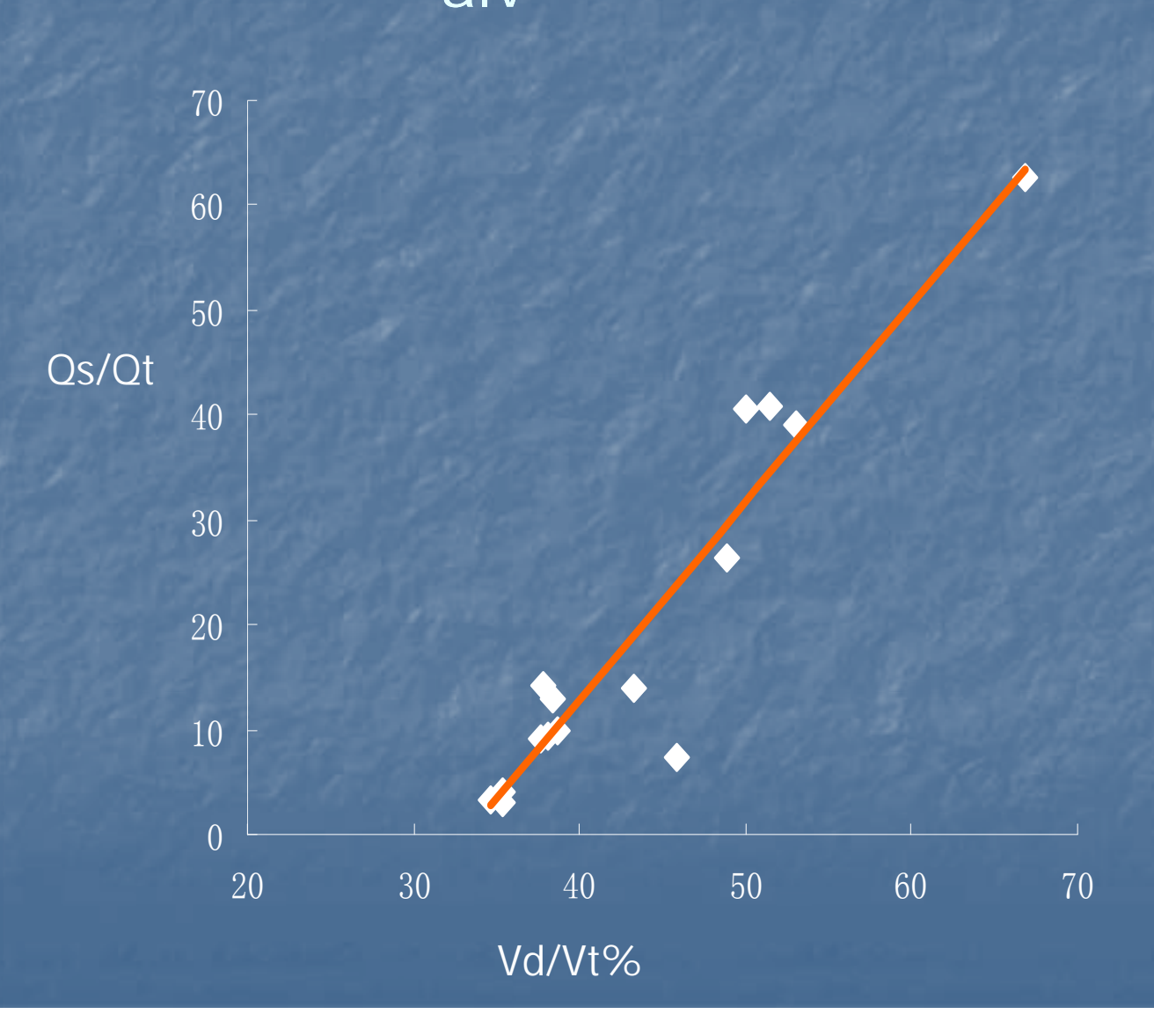


■动物实验研究发现,这个拐点与闭合压力一致

Vd_{alv}/Vt与通气不良的肺泡比例的关系



Vdalv/Vt与Qs/Qt的关系

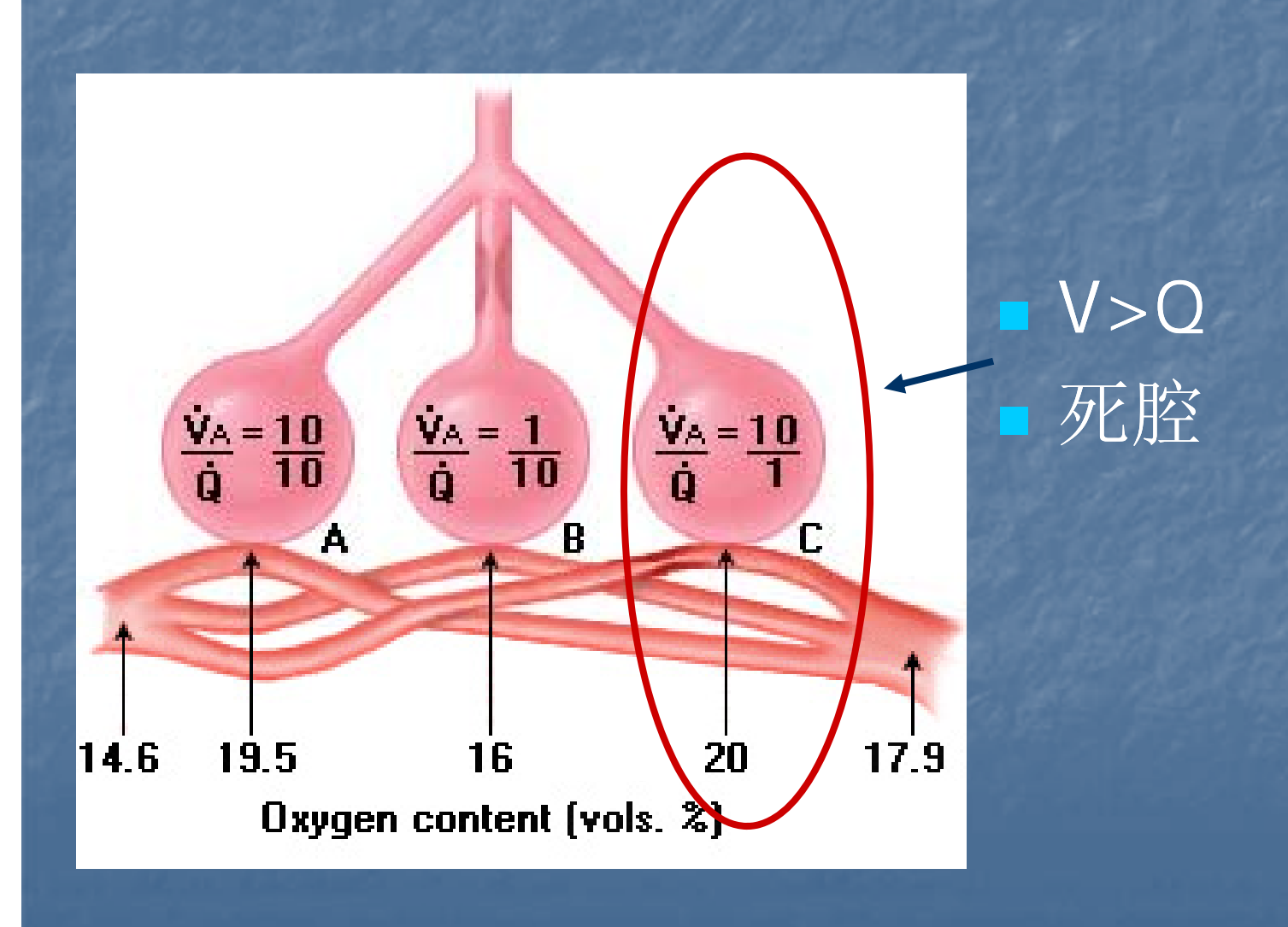


Shunt Dead Space *vs* "Real" Dead Space

直在较低水平的PEEP下,通过Bohr-Enghoff 公式计算出的"死腔"实际上代表分流 ■ Tusman等人的动物实验研究表明,在RM之后使用递减的PEEP策略,(Vd/Vt)_{alv}与分流变化趋势一致,与CT观察到的肺泡闭合趋势一致,可以用来确定维持肺泡开放的PEEP水平

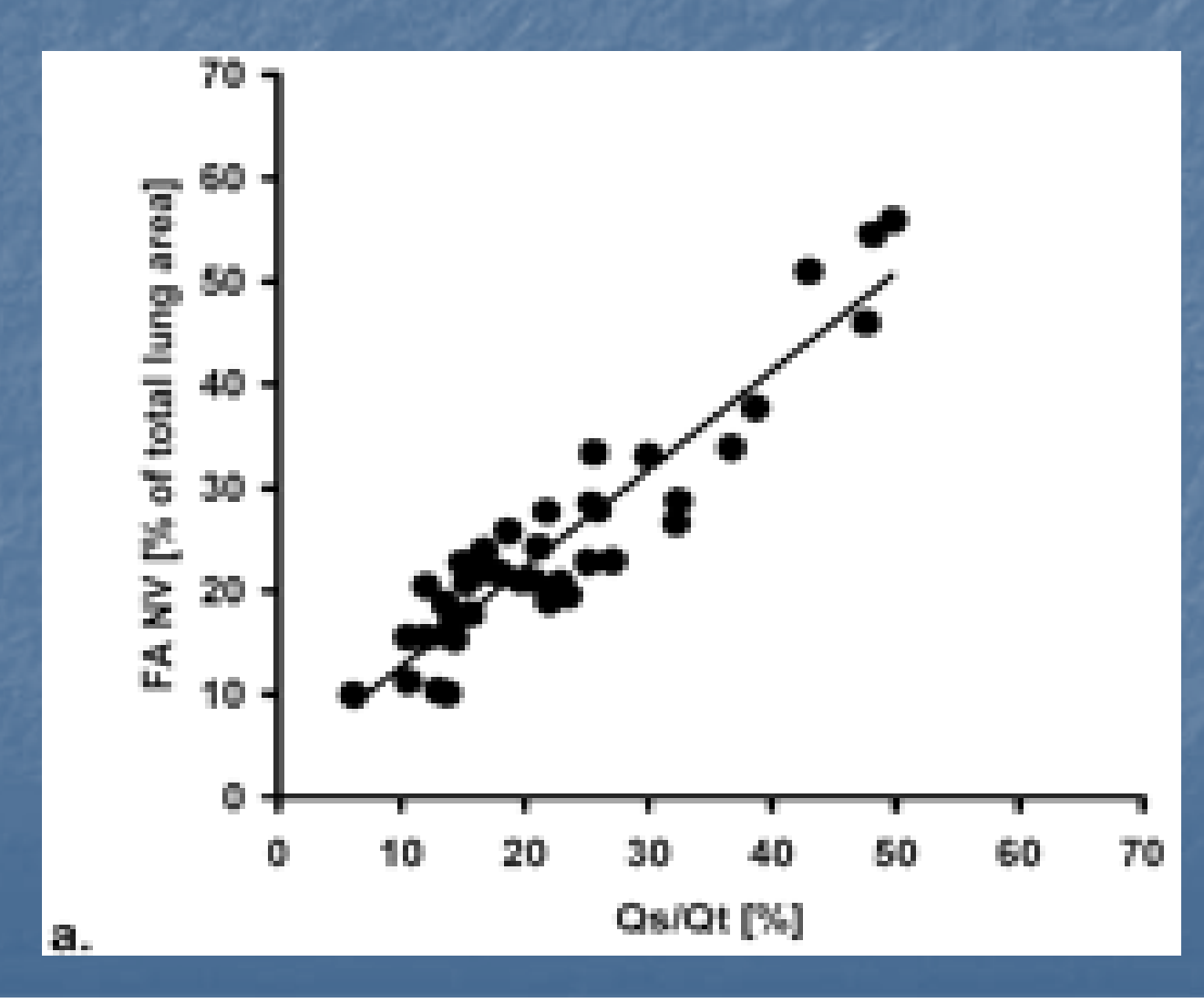
Intensive Care Med. 2006 Nov; 32(11):1863-71

CO2相关指标与肺泡的过度膨胀



- ■肺泡的过度膨胀
- ■肺泡本身过度扩张
- CO下降,血流减少,使得肺泡"相对"过度膨胀
- 血流分布

David等人的研究提示 Os/Qt与通气不良肺泡比例相关

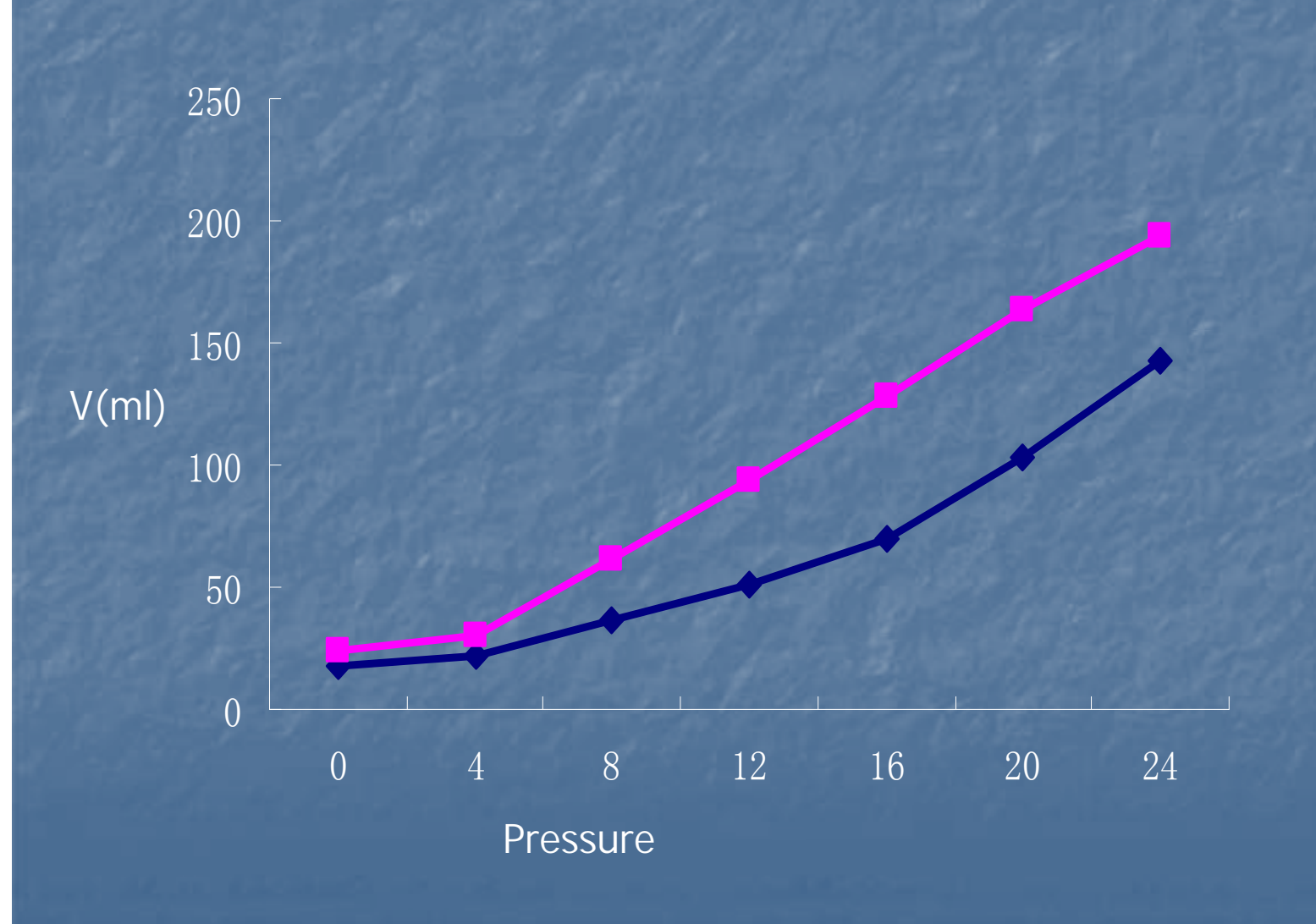


CO2相关指标与肺泡的过度膨胀

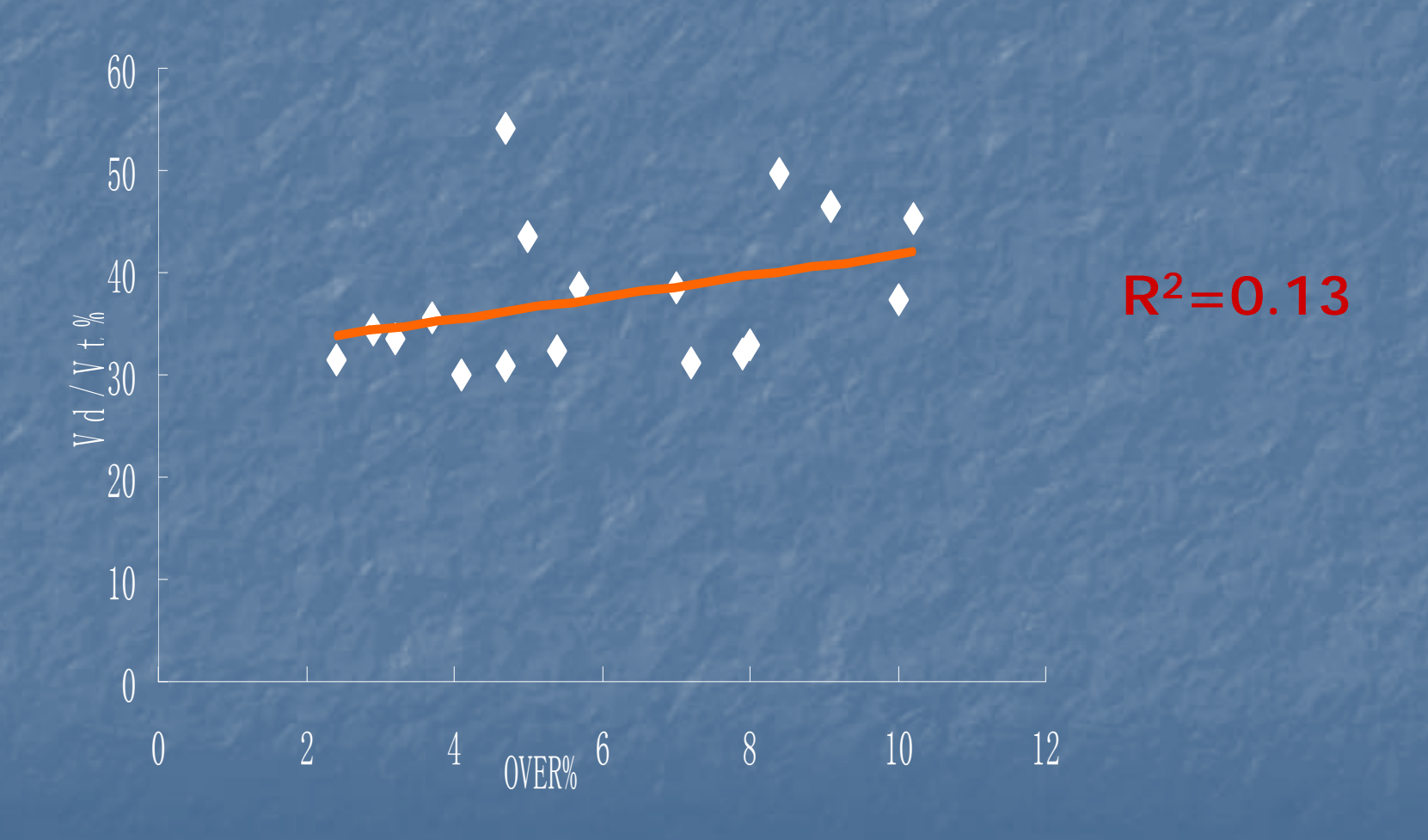
Murray等人的研究中,随PEEP增加,当 Qs/Qt维持为低值,Pa-etCO2增加时,虽然 PaO2仍在增加,但是这时已经出现了肺泡的过度膨胀

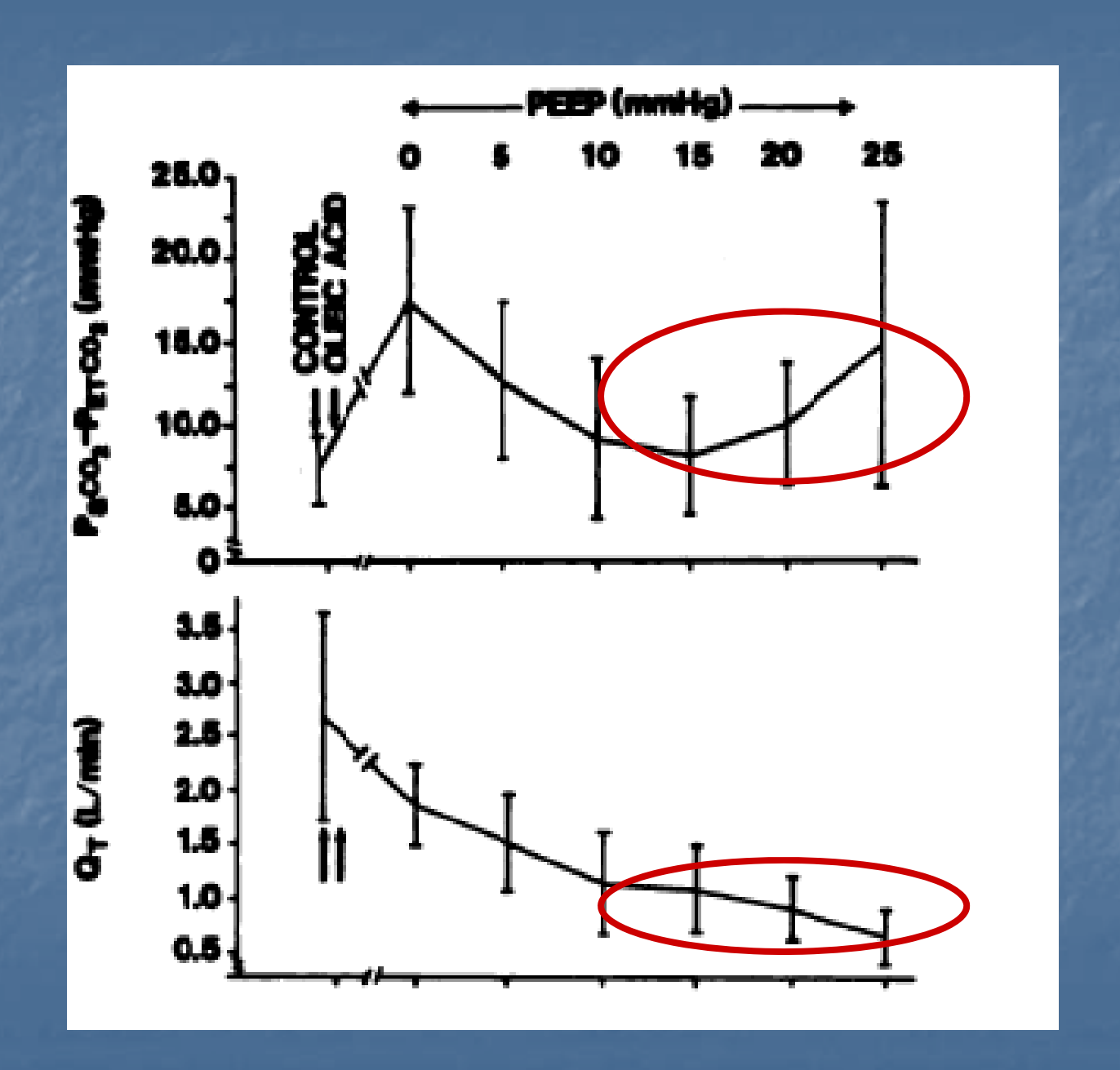
CT Scan?

CT分析肺的过度膨胀



过度膨胀肺体积





Minimize Vd VS. Maximize PaO2/FiO2

- 能够反映肺泡的闭合特征
- 能够反映由于肺内总血流的减少对通气血流比的影响
- 能够兼顾血流动力学的变化

